

# مطالعه‌ی آزمایشگاهی اثر افزودن الیاف شیشه در بتن پودری واکنش‌پذیر

علی حیدری \* (دانشیار)

فرید نادری شورابی (دانشجوی کارشناسی ارشد)

گروه هندسی عمران، دانشکده فنی و هندسی، دانشگاه شهرکرد

بتن پودری واکنش‌پذیر، یکی از انواع بتن‌های پر مقاومت است، که با توجه به تراکم مناسب ریزساختار، مقاومت فشاری بالایی در محدوده ۲۰۰ تا ۸۰۰ مگاپاسکال دارد. از دیگر ویژگی‌های بتن پودری واکنش‌پذیر، مدول کشسانی بالا، تخلخل کم و جذب آب پایین آن است. در پژوهش حاضر، با بررسی رفتار مقاومتی و ریزساختار بتن مشاهده شد که با افزایش نسبت ماسه به سیمان در بتن پودری واکنش‌پذیر از ۱/۲ به ۱/۲، شرایط تشکیل ژل سیلیکات‌کلسیم هیدراته بهبودیافت و ریزترک‌ها کاهش پیدا کرده است. همین امر موجب بهبود خواص بتن، نظیر؛ مقاومت فشاری، مقاومت کششی و جذب آب در نسبت ماسه به سیمان ۱/۲ در مقایسه با نسبت ماسه به سیمان ۱ شده است. همچنین مطابق نتایج به دست آمده، افزودن ۴ تا ۵ درصد حجم بتن الیاف شیشه، ویژگی‌های بتن پودری واکنش‌پذیر نظیر؛ مقاومت‌های فشاری، خمی و کششی و رفتار دوامی بتن در برابر نفوذ آب بهبود یافته است. این در حالی است که افزودن ۶٪ حجم بتن الیاف شیشه، خواص مقاومتی بتن پودری واکنش‌پذیر را تضعیف کرده است.

heidari@sku.ac.ir  
Fariidnaderii@gmail.com

واژگان کلیدی: بتن پودری واکنش‌پذیر، الیاف شیشه، ماسه سیلیسی، میکروسکوپ الکترونی.

## ۱. مقدمه

بتن بدون شک پر مصرف‌ترین مصالح ساختمانی مصرفی عصر حاضر در دنیاست و بسیاری از سازه‌های کوچک و بزرگ ساختمانی و نیز بسیاری از سازه‌های بندری و دریابی، اسکله‌ها و پل‌ها از بتن ساخته می‌شوند. ضمن آن‌که حتی در ساختمان‌های با اسکلت فولادی نیز، بسیاری از قسمت‌ها از جمله: پی‌ها، کف‌ها و اندودها از بتن و یا ملات تشکیل شده‌اند. بنابراین لازم است مهندسان عمران و دست‌اندرکاران صنعت ساختمان، به خوبی بتن و خصوصیات آن را شناخته و درک کاملی از عوامل تأثیرگذار در رفتار و کیفیت بتن داشته باشند.<sup>[۱]</sup>

یکی از ناآوری‌هایی که در زمینه‌ی فتاوری بتن در دهدۀ نواد می‌لادی در فرانسه رخ داده است، ابداع بتن پودری واکنش‌پذیر است. عمل توجه پژوهشگران به بتن پودری واکنش‌پذیر، ویژگی‌های رفتاری و مکانیکی عالی آن است. بتن پودری واکنش‌پذیر از ماسه سیلیسی، پودر سیلیسی، سیمان، میکروسیلیس، پودر کوارتز، آب، فوق روانکننده و در صورت نیاز به مقاومت کششی یا جذب ارزی بالا، الیاف فولادی تشکیل شده است. بتن پودری واکنش‌پذیر، علاوه بر مقاومت‌های فشاری و کششی بالا، دارای خصوصیات عملکردی بالایی، نظیر؛ مقاومت سایشی و خوردگی بالا، نفوذپذیری کم و تخلخل پایین، و نیز دوام زیاد است.<sup>[۲-۴]</sup> همچنین عادل قسمی<sup>[۵]</sup>

\* نویسنده مسئول

تاریخ: دریافت ۲۰۰۱/۰۳/۱۴، اصلاحیه ۱۹/۰۱/۱۴۰۱، پذیرش ۲۹/۰۶/۱۴۰۱.

DOI:10.24200/J30.2022.60199.3098

مطالعات باقی و همکاران (۲۰۰۷)، در زمینه‌ی بتن پودری واکنش‌پذیر نشان می‌دهد که با افزایش مقاومت فشاری بتن، رفتار آن تُرددتر می‌شود؛ لذا رفتار بتن

طی گزارش تام و همکاران (۲۰۱۲)، گرمای هیدراتاسیون بالا در بتن پودری واکنش‌پذیر می‌تواند مشکلاتی را از لحاظ مقاومت و دوام ایجاد کند؛ همچنین بالا رفتن گرمای هیدراتاسیون سبب مشکلات در جمع‌شدگی بتن پودری واکنش‌پذیر می‌شود.<sup>[۲۳]</sup> به منظور امتداد مطالب بیان شده در پژوهش حاضر، ابتدا افزایش نسبت ماسه به سیمان در بتن پودری واکنش‌پذیر ارزیابی و پس از آن با افزودن مقادیر مختلف نسبت الیاف شیشه به نمونه‌های ساخته شده، رفتار بتن بررسی شده است.

## ۲. مطالعه‌ی آزمایشگاهی

افزایش نسبت ماسه به سیمان تا میزان تا مشخصی موجب اصلاح رفتار بتن در برخی ویژگی‌ها می‌شود.<sup>[۲۴]</sup> جهت بررسی رفتار بتن پودری واکنش‌پذیر در افزایش نسبت ماسه به سیمان، ابتدا ۵ طرح با نسبت‌های ماسه به سیمان ۱/۱، ۱/۲، ۱/۲۵ و ۱/۳ ارزیابی شده و سپس با الیاف شیشه به میزان ۴، ۵ و ۶ درصد حجم بتن به هر کدام از نسبت‌های ذکر شده، مناسب‌ترین نسبت جایگزینی ماسه به سیمان و درصد الیاف افزوده شده به بتن پودری واکنش‌پذیر مشخص شده است.

### ۱.۲ مواد مصرفی و طرح‌های اختلاط

مصالح مصرفی در طی فرایند ساخت آزمایشگاهی، شامل: سیمان، ماسه‌ی سیلیسی، آب، فوق روان‌کننده و الیاف شیشه بوده است. به جهت میزان بالای سیمان، سیمان مصرف شده جهت ساخت نمونه‌های بتن پودری واکنش‌پذیر سیمان پرتلند تیپ ۱-۴۲۵-۱-۵۲۵ بوده است. در پژوهش حاضر، از سیمان ۱-۵۲۵ شهرکرد استفاده شده است. ماسه‌ی سیلیسی استفاده شده از معادن شرکت ماسه‌ی ریخته‌گری چیروک طبس تهیه شده است. از آنجایی که میزان سیمان استفاده شده در طرح‌های اختلاط بتن پودری واکنش‌پذیر زیاد بوده است، سیمان به عنوان یکی از تأثیرگذارترین مواد در ساخت بتن پودری واکنش‌پذیر شناخته می‌شود؛ لذا شناخت دقیق ترکیب‌های شیمیایی سیمان و ماسه‌ی سیلیسی مصرفی در بتن، موجب تحلیل دقیق تر رفتار آن می‌شود. مشخصات شیمیایی سیمان و ماسه‌ی سیلیسی استفاده شده در پژوهش حاضر در جدول ۱ ارائه شده است. جهت بررسی مواد تشکیل‌دهنده ماسه‌ی سیلیسی، نتایج آزمون XRF مطابق استاندارد ASTM E ۱۶۲۱-۵<sup>[۲۵]</sup> بیان شده است.<sup>[۲۶]</sup>

استفاده از سنگ‌دانه‌های ریز با اندازه‌ی بیشینه‌ی مشخص، موجب رسیدن به یک بتن همگن با ساختار میکروسکوپی عالی می‌شود. اندازه‌ی دانه‌ها در بتن

جدول ۱. آنالیز شیمیایی سیمان و ماسه‌ی سیلیسی.

سیمان شهرکرد	ماسه‌ی سیلیسی
-	$0.79 \pm 0.62$ Insol
۹۷-۹۹	$20.3 \pm 0.20$ SiO <sub>2</sub>
۰/۴۱-۱/۷	$5.65 \pm 0.15$ Al <sub>2</sub> O <sub>3</sub>
۰/۲۰-۰/۶	$2.30 \pm 0.15$ Fe <sub>2</sub> O <sub>3</sub>
۰/۰۷-۰/۲	$65.70 \pm 0.20$ CaO
-	$\leq 1/6$ MgO
-	$\leq 2/8$ SO <sub>3</sub>
۰-۰/۰۱	$0.27 \pm 0.03$ Na <sub>2</sub> O
۰/۰۲-۰/۰۶	$0.58 \pm 0.04$ K <sub>2</sub> O

پودری واکنش‌پذیر نسبت به بتن مقاومت بالای معمولی تر دارد است.<sup>[۱۱]</sup>

در ادامه، بررسی خواص بتن پودری واکنش‌پذیر ژیان زین<sup>۳</sup> و همکارانش (۲۰۰۴)، طی مطالعات خود نشان داده‌اند که در بتن مذکور برای رسیدن به تخلخل کمتر و یک بتن متراکم تر می‌توان از برخی مواد پوزلانی استفاده کرد.<sup>[۱۲]</sup> لازم به ذکر است که در سال‌های اخیر، مطالعات زیادی بر روی تأثیر سنگ‌دانه‌ها و افزودنی‌های مختلف در بتن پودری واکنش‌پذیر انجام شده است، که به عنوان مثال، تأثیر افزودن و جایگزینی پودر سنگ‌آهک، ضایعات سنگ‌گرانیت، افزودن سنگ‌دانه‌های سبک جهت رسیدن به بتن پودری واکنش‌پذیر اشاره کرد.<sup>[۱۳-۱۴]</sup>

بهبود خواص به بتن پودری واکنش‌پذیر اشاره کرد.<sup>[۱۵-۱۶]</sup> بتن پودری واکنش‌پذیر از جمله مواد ساختمانی است که تا امروزه در صنعت ساخت و ساز بسیار کم استفاده شده و تاکنون به صورت عملی فقط در تیرهای پیش‌تیزده‌ی x شکل، حفاظت و نگهداری از زباله‌های هسته‌ی و ایزوله کردن ضایعات هسته‌ی در چندین پروژه در اروپا به کار رفته است. به عنوان نمونه‌ی دیگر جهت کاربرد بتن پودری واکنش‌پذیر در صنعت ساخت و ساز، می‌توان به ساخت یک پل با مقاطع بتنی بهینه به علت مقاومت بالای بتن پودری واکنش‌پذیر در کبک اشاره کرد.<sup>[۱۷]</sup>

با بررسی ویژگی‌های بتن پودری واکنش‌پذیر در مطالعات سایر پژوهشگران، باید توجه کرد که در کنار داشتن ویژگی‌های مناسب ذکر شده، بتن پودری واکنش‌پذیر در مقابل تنش‌های کششی، عملکرد ضعیفی دارد، که ضعف اخیر در بتن‌های معمولی با مسلح کردن آن به وسیله‌ی میلگرد‌های فولادی و این فرض که بتن و فولاد، یک ماده‌ی همگن و ایزوتروپ را تشکیل می‌دهند، رفع می‌شود؛ در حالی که چنین فرضی به علت عدم گسترش میلگرد در کل مقطع، صحیح به نظر نمی‌رسد. برای رفع مشکل اخیر، باید بتن پودری واکنش‌پذیر به یک کامپوزیت تبدیل شود. کامپوزیت ترکیبی است که از مخلوط کردن مواد با خصوصیات مختلف جهت تولید ماده‌ی جدید با خصوصیات بهبودیافته به وجود می‌آید.

ناصر و همکاران (۲۰۱۹)، در گزارش‌های خود بیان کردند که بتن حاوی الیاف در حقیقت نوعی کامپوزیت است که با به کارگیری الیاف تقویت‌کننده داخل مخلوط بتن، مقاومت‌های کششی و فشاری آن را افزایش می‌دهد. ترکیب اخیر، امکان استفاده از بتن به عنوان یک ماده‌ی شکل‌پذیر جهت تولید سطوح مقاوم پرانحنا را فراهم می‌آورد.<sup>[۱۸]</sup>

کرنچل و استانگ<sup>۴</sup> (۱۹۸۹)، نیز در گزارش‌های خود بیان کردند که با کاربرد مناسب الیاف به هم پیوسته به شکل‌پذیری کششی ۱۰۰ برابر نسبت به بتن معمولی دست یافتند.<sup>[۱۹]</sup>

مطالعات انجام شده توسط سروشیان و همکاران (۱۹۹۰)، نشان می‌دهد که فاصله‌ی بین الیاف‌ها و مقاومت کششی، تعداد میانگین الیاف‌ها در واحد سطح و مقاومت فشاری بتن ارتباط وجود دارد. البته این ارتباط در تعداد میانگین الیاف‌ها و مقاومت فشاری تأثیر بیشتری دارد.<sup>[۲۰]</sup>

تاکنون مصالح بسیاری جهت بهبود خواص بتن پودری واکنش‌پذیر به آن افزوده شده‌اند. الیاف شیشه با توجه به خواص مناسبی که به بتن معمولی می‌بخشد، می‌تواند در بتن پودری واکنش‌پذیر نیز عملکرد مناسبی نشان دهد. از این رو در پژوهش حاضر، به بررسی عملکرد الیاف شیشه در بتن پودری واکنش‌پذیر پرداخته شده است. در پژوهش حاضر به این نکته توجه شده است که بتن پودری واکنش‌پذیر، علاوه بر داشتن مزایای بسیار، یک نقطه ضعف اساسی دارد. میزان بالای مصرف سیمان در فرایند تولید بتن پودری واکنش‌پذیر، علاوه بر افزایش هزینه‌ی ساخت بتن مذکور سبب ایجاد گرمای هیدراتاسیون زیادی می‌شود.

جدول ۳. مشخصات الیاف شیشه‌ی مصرفی.

مقادیر	ویژگی
$2/68 \text{ g/cm}^3$	وزن مخصوص
$14 \mu\text{m}$	قطر الیاف
کم	رسانایی الکتریکی
زیاد	مقاومت شیمیایی
$10\% / 3\%$	رطوبت
$50\% / 55\%$	تخربی در آثر جرقه
$86^\circ\text{C} - 158^\circ\text{C}$	نقطه‌ی نرم شدن
$10 \times 10^6 \text{ psi} - 72 \text{ Gpa}$	مدول کشسانی
$250 \times 10^3 \text{ psi} - 170 \text{ Mpa}$	مقاومت کششی
$\leq 16\%$	$\% \text{ ZrO}_2$
$15^\circ\text{C} - 35^\circ\text{C}$	شرایط نگهداری

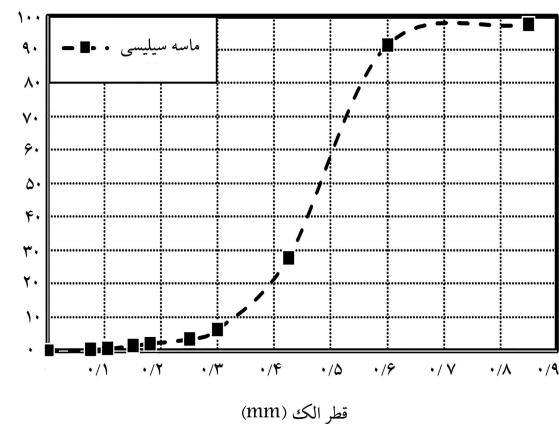
مختلف، تفاوت دارد. همچنین اضافه کردن الیاف شیشه به شدت در کاهش کارایی بتن تأثیرگذار است.<sup>[۲۸، ۲۷]</sup> به همین منظور در طرح‌های حاوی الیاف شیشه با افزایش درصد الیاف شیشه در ساخت نمونه‌های بتن پودری واکنش‌پذیر با توجه به افزایش حجم مصالح خشک، نسبت فوق روان‌کننده به سیمان به منظور حصول کارایی در مقایسه با طرح‌های فاقد الیاف شیشه افزایش پیدا کرده است.

### ۳.۲. روش انجام آزمایش

بتن پودری واکنش‌پذیر، یک بتن ایزوتrop و همگن با روانی بالا است.<sup>[۲۹]</sup> به منظور ساخت نمونه‌های بتنی مناسب با ویژگی‌های مطلوب، در مرحله‌ی اول، مصالح خشک، شامل سیمان و ماسه‌ی سیلیسی به طور کامل با یکدیگر مخلوط شده‌اند. در مرحله‌ی دوم،  $80\%$  از آب مورد نیاز طرح به همراه دوز کامل فوق روان‌کننده به مخزن همزمان اضافه و به مدت ۴ تا ۵ دقیقه، عملیات اختلاط انجام شده است. در مرحله‌ی سوم، الیاف شیشه (در طرح‌های حاوی الیاف) به مخلوط اضافه و با اضافه کردن  $20\%$  آب باقی‌مانده‌ی طرح، عملیات اختلاط ۱۰ دقیقه با سرعت  $100$  دور بر دقیقه ادامه یافته است.<sup>[۲۹]</sup> سپس نمونه‌های بتن به قالب‌ها منتقل و به مدت  $24$  ساعت فرایند گیریش اولیه انجام شده است.

جهت بررسی رفتار بتن پودری واکنش‌پذیر در افزایش نسبت ماسه به سیمان و همچنین تأثیر افزودن الیاف شیشه به آن، آزمایش‌های مکانیکی نظری: مقاومت فشاری C۳۹(<sup>[۳۰]</sup>ASTM)، C۴۹۶(<sup>[۳۱]</sup>ASTM)، مقاومت کششی C۲۹۳(<sup>[۳۲]</sup>ASTM)، نفوذناپذیری (EN ۱۲۳۹۰-۸)<sup>[۳۳]</sup> و جذب آب (ASTM ۴۶۲-۹۷)<sup>[۳۴]</sup> انجام شده است.

جهت انجام آزمون مقاومت فشاری از قالب‌های مکعبی به ابعاد  $5 \times 5 \times 5$  سانتی‌متر استفاده شده است. برای آزمون‌های مقاومت کششی، نفوذناپذیری و جذب آب از قالب‌های استوانه‌ی  $10 \times 20$  سانتی‌متر و برای آزمون مقاومت خششی از قالب مکعبی  $4 \times 4 \times 16$  سانتی‌متر استفاده شده است. نمونه‌های آزمایشگاهی پس از ساخت به قالب‌ها منتقل و پس از  $24$  ساعت از قالب‌ها خارج شدند. نمونه‌ها مطابق شکل ۲ تا زمان انجام آزمون به استخر آب آهک اشباع منتقل شدند. لازم به ذکر است که تمام نمونه‌ها طبق استاندارد C۱۹۲ (<sup>[۳۵]</sup>ASTM) از زمان قالب‌گیری تا لحظه‌ی انجام آزمون در دمای  $(23 \pm 2)$  درجه‌ی سلسیوس به صورت مرتبط در استخر مطابق شکل ۳، عمل آوری و با توجه به شرایط آزمون مد نظر از استخر خارج و بررسی شده‌اند.



شکل ۱. دانه‌بندی ماسه‌ی سیلیسی.

جدول ۲. مشخصات فوق روان‌کننده‌ی مصرفی.

مشخصه	شرح
شكل ظاهری	مایع
رنگ	شفاف یا شیری
pH	$5 \sim 7$
Na <sub>2</sub> O	کمتر از $1/5\%$
مقدار کلراید	کمتر از $1\%$
چگالی	$1/0 \pm 0/02 \text{ g/cm}^3$
میزان مصرف	۵٪ تا ۲ درصد وزن سیمان

پودری واکنش‌پذیر در بازه‌ی  $200 \text{ تا } 600$  میکرومتر است.<sup>[۱۰]</sup> به همین منظور ماسه‌ی استفاده شده در پژوهش حاضر باید دارای ابعاد مجاز سنج دانه‌ی بتن پودری واکنش‌پذیر باشد. دانه‌بندی ماسه‌ی سیلیسی استفاده شده در فرایند ساخت نمونه‌های آزمایشگاهی در شکل ۱ مشاهده می‌شود، که مطابق آن،  $89/1\%$  دانه‌های ماسه سیلیسی در بازه‌ی مجاز جهت ساخت بتن پودری واکنش‌پذیر قرار دارد. فوق روان‌کننده استفاده شده در پژوهش حاضر، Carboxal SR ۵۱۰۰ بر پایه‌ی پلی کربوکسیلات اثر تهیه شده از شرکت البرز شیمی آسیا بوده است، که مشخصات آن در جدول ۲ ارائه شده است.

الیاف شیشه‌ی مصرف شده از نوع AR بوده است، که به جهت کارایی مناسب، به ابعاد  $15$  میلی‌متر برش خورده است. مشخصات الیاف شیشه در جدول ۳ ارائه شده است. الیاف شیشه‌ی AR باید همراه با سیمان پرتواند استفاده شوند، زیرا زیکنونیوم موجود در آن، مانعی برای واکنش میان سیمان و الیاف است.<sup>[۲۵]</sup>

### ۲.۲. معرفی طرح‌های اختلاط

مطابق جدول ۴، در پژوهش حاضر مجموعاً  $20$  طرح اختلاط، شامل  $5$  طرح بدون الیاف شیشه با نسبت‌های ماسه به سیمان  $1/3$  تا  $1/3$  و  $15$  طرح با نسبت ماسه به سیمان  $1/3$  تا  $1/3$  حاوی  $4, 5, 6$  درصد حجم بتن الیاف شیشه ساخته و ارزیابی شده‌اند.

به منظور یکسان بودن کارایی طرح‌های ساخته شده، نمونه‌ها تحت آزمایش کارایی با میز سیلان مطابق با استاندارد BS ۱۸۸۱ قرار گرفته و تمام نمونه‌ها با کارایی در محدوده‌ی  $190$  میلی‌متر ساخته شدند. افزایش نسبت ماسه به سیمان موجب کاهش روانی بتن می‌شود،<sup>[۲۶]</sup> از این رو نسبت آب به سیمان در ساخت طرح‌های

جدول ۴. معرفی طرح اختلاط نمونه‌های بتن.

نام طرح	سیمان	ماسه	آب	مصالح (kg/m <sup>3</sup> )		الیاف شیشه فوق روان‌کننده	الیاف شیشه به سیمان	نسبت ماسه به سیمان	الیاف شیشه (%) در حجم بتن)
				Cs1	Cs1/1				
۹۷۲/۸۵	۹۷۲/۸۵	۹۷۲/۸۵	۹۷۲/۸۵	۹/۷۳	۱۹۴/۵۷	۹/۲۷	۰	۰/۲	۰
۹۲۶/۷۲	۹۲۶/۷۲	۹۲۶/۷۲	۹۲۶/۷۲	۰	۱۹۴/۶۱	۸/۸۱	۰	۰/۲۱	۰/۲۱
۸۸۱/۱۵	۸۸۱/۱۵	۸۸۱/۱۵	۸۸۱/۱۵	۸/۸	۲۰۲/۶۶	۸/۳۷	۰	۰/۲۳	۰/۲۳
۸۶۰	۸۶۰	۸۶۰	۸۶۰	۸/۶	۲۰۶/۴	۸/۲۶	۰	۰/۲۴	۰/۲۴
۸۳۶/۵۸	۸۳۶/۵۸	۸۳۶/۵۸	۸۳۶/۵۸	۸/۳۷	۲۱۷/۵۱	۸/۲۶	۰	۰/۲۶	۰/۲۶
۹۳۶/۸۲	۹۳۶/۸۲	۹۳۶/۸۲	۹۳۶/۸۲	۷۴/۹۵	۱۸۷/۳۶	۷۱/۵۲	۱	۰/۲	۰/۲
۸۹۳/۹۷	۸۹۳/۹۷	۸۹۳/۹۷	۸۹۳/۹۷	۷۱/۵۲	۱۸۷/۷۳	۶۸/۱۲	۱/۲	۰/۲۱	۰/۲۱
۸۵۱/۴۹	۸۵۱/۴۹	۸۵۱/۴۹	۸۵۱/۴۹	۶۸/۱۲	۱۹۵/۸۴	۱۲/۷۷	۱/۲	۰/۲۳	۰/۲۳
۸۳۱/۷۲	۸۳۱/۷۲	۸۳۱/۷۲	۸۳۱/۷۲	۶۶/۵۴	۱۹۹/۶۱	۱۲/۴۸	۱/۲۵	۰/۲۴	۰/۲۴
۸۰۹/۷۹	۸۰۹/۷۹	۸۰۹/۷۹	۸۰۹/۷۹	۶۴/۷۸	۲۱۰/۵۵	۱۲/۱۵	۱/۳	۰/۲۶	۰/۲۶
۹۲۷/۹۲	۹۲۷/۹۲	۹۲۷/۹۲	۹۲۷/۹۲	۹۲/۷۹	۱۸۵/۵۸	۱۵/۷۷	۱	۰/۲	۰/۲
۸۸۵/۸۷	۸۸۵/۸۷	۸۸۵/۸۷	۸۸۵/۸۷	۸۸/۵۹	۱۸۶/۰۳	۱۵/۰۶	۱/۱	۰/۲۱	۰/۲۱
۸۴۴/۱۳	۸۴۴/۱۳	۸۴۴/۱۳	۸۴۴/۱۳	۸۴/۴۱	۱۹۴/۱۵	۱۴/۳۵	۱/۲	۰/۲۳	۰/۲۳
۸۲۴/۷۰	۸۲۴/۷۰	۸۲۴/۷۰	۸۲۴/۷۰	۸۲/۴۷	۱۹۷/۹۳	۱۴/۰۲	۱/۲۵	۰/۲۴	۰/۲۴
۸۰۳/۱۴	۸۰۳/۱۴	۸۰۳/۱۴	۸۰۳/۱۴	۸۰/۳۱	۲۰۸/۸۲	۱۳/۶۵	۱/۳	۰/۲۶	۰/۲۶
۹۱۹/۲۰	۹۱۹/۲۰	۹۱۹/۲۰	۹۱۹/۲۰	۱۱۰/۳۰	۱۸۳/۸۴	۱۷/۴۶	۱	۰/۲	۰/۲
۸۷۷/۹۱	۸۷۷/۹۱	۸۷۷/۹۱	۸۷۷/۹۱	۱۰۵/۳۵	۱۸۴/۳۶	۱۶/۶۸	۱/۱	۰/۲۱	۰/۲۱
۸۳۶/۹۰	۸۳۶/۹۰	۸۳۶/۹۰	۸۳۶/۹۰	۱۰۰/۴۳	۱۹۲/۴۹	۱۵/۹۰	۱/۲	۰/۲۳	۰/۲۳
۸۱۷/۸۰	۸۱۷/۸۰	۸۱۷/۸۰	۸۱۷/۸۰	۹۸/۱۴	۱۹۶/۲۷	۱۵/۵۴	۱/۲۵	۰/۲۴	۰/۲۴
۷۹۶/۵۹	۷۹۶/۵۹	۷۹۶/۵۹	۷۹۶/۵۹	۹۵/۵۹	۲۰۷/۱۱	۱۵/۱۴	۱/۳	۰/۲۶	۰/۲۶

راهمنا: در نامگذاری طرح عدد پس از Cs بیانگر نسبت ماسه به سیمان و عدد پس از G درصد الیاف طرح را مشخص می‌کند.

### ۳. ارائه‌ی نتایج

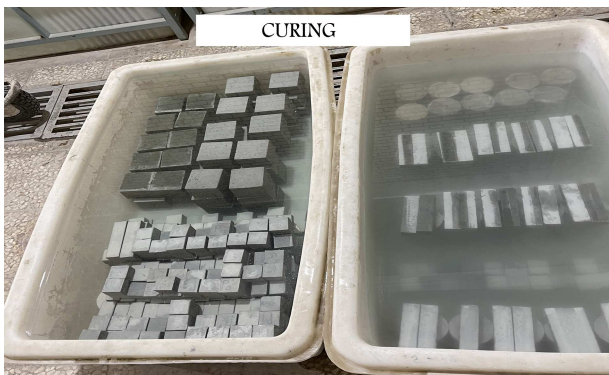
#### ۱.۳. نتایج مقاومت فشاری

جهت بررسی مقاومت فشاری بتن، ابتدا نمونه‌ها در سنین ۱، ۷، ۱۴ و ۲۸ روز از استخراج خارج شدن و درحالت اشباع با سطح خشک در محفظه‌ی جک بتن‌شکن قرار گرفتند. سرعت بارگذاری جک برای نمونه‌های مکعبی  $5 \times 5 \times 5$  سانتی‌متری، ۹۰ نیوتن بر ثانیه بوده است. به جهت بررسی تأثیر نسبت ماسه به سیمان در بتن پودری واکنش‌پذیر، نتایج مقاومت فشاری نمونه‌های فاقد الیاف شیشه در شکل ۴ و به جهت بررسی تأثیر افزون درصد های مختلف الیاف شیشه در بتن پودری واکنش‌پذیر، نتایج مقاومت فشاری نمونه‌های حاوی ۴، ۵ و ۶ درصد الیاف شیشه به ترتیب در شکل‌های ۵ الی ۷ مشاهده می‌شوند.

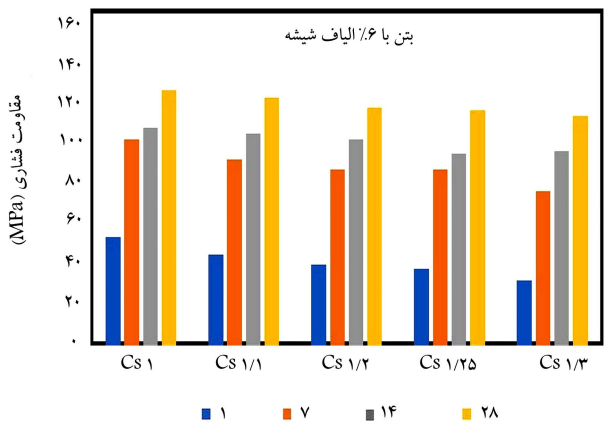
به منظور بررسی دوام نمونه‌ها هنگام خارج شدن از قالب در سن ۱ روز بر مبنای نتایج شکل ۴، با افزایش نسبت ماسه به سیمان از نسبت ۱ تا  $1/3$  مقاومت فشاری بتن کاهش یافته است، که بر این مبنای نمونه‌های حاوی سیمان بیشتر به عمل گیرش اولیه‌ی سیمان ۵۲۵-۱ جهت خارج شدن از قالب، دوام مناسب‌تر دارد. در سن ۷ روز، اختلاف مقاومت فشاری نمونه‌ی حاوی نسبت ماسه به سیمان ۱ با سایر نمونه‌ها کاهش یافته است. پس از سن ۱۴ روز، افزایش نسبت ماسه به سیمان تا نمونه‌ی  $1/2$  (حاوی نسبت ماسه به سیمان  $1/2$ )، مقاومت فشاری نمونه‌های بتن را افزایش داده و پس از آن، به ازاء مقادیر بیشتر ماسه به سیمان، مقاومت فشاری نمونه‌ها کاهش یافته است. در سن ۲۸ روز، بیشترین مقاومت فشاری مربوط



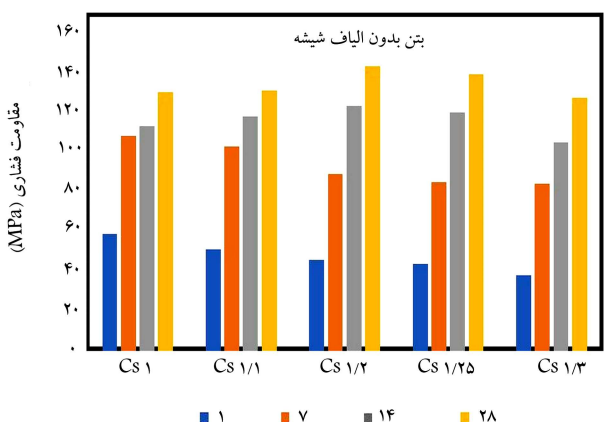
شکل ۲. تصویر سه طرح از نمونه‌های ساخته شده.



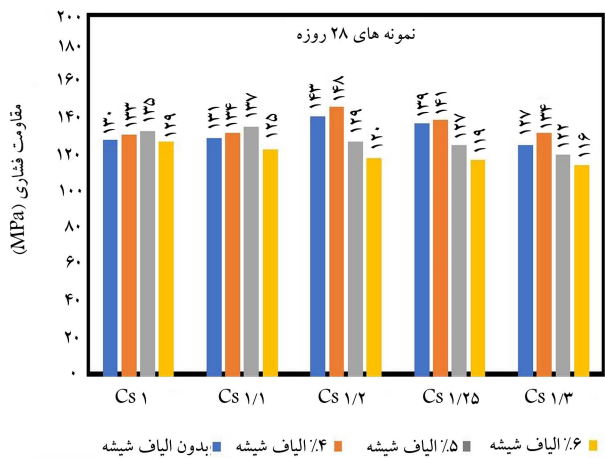
شکل ۳. استخر عمل آوری نمونه‌های بتن.



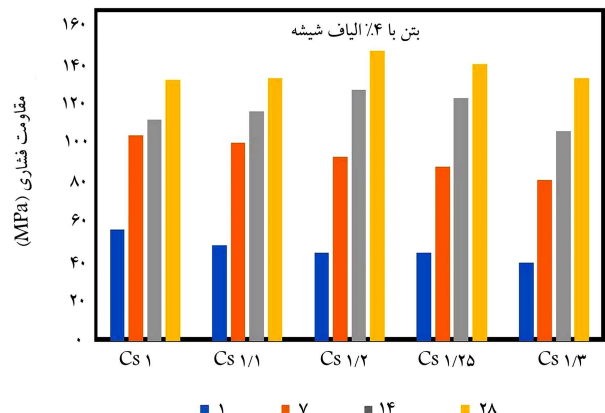
شکل ۷. مقاومت فشاری نمونه‌های حاوی ۶٪ الیاف شیشه.



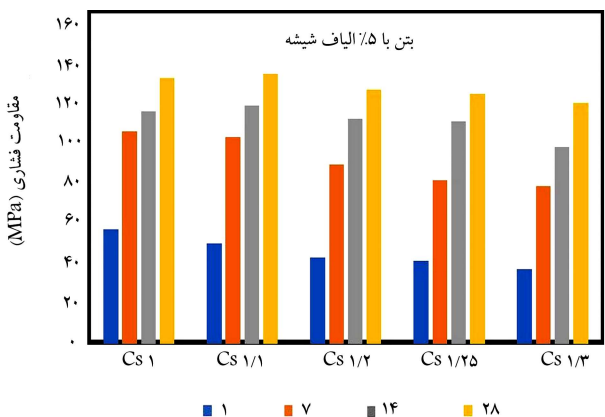
شکل ۴. مقاومت فشاری نمونه‌های فاقد الیاف شیشه.



شکل ۸. مقاومت فشاری ۲۸ روزه‌ی نمونه‌های بتن.



شکل ۵. مقاومت فشاری نمونه‌های حاوی ۴٪ الیاف شیشه.



شکل ۶. مقاومت فشاری نمونه‌های حاوی ۵٪ الیاف شیشه.

نشان داده شده است. در سن ۱۴ روز، مقاومت فشاری نمونه‌ها تا نسبت ماسه به سیمان ۱/۱ تقریباً مشابه با نمونه فاقد الیاف شیشه بوده و پس از آن به ازاء نسبت ماسه به سیمان بیشتر، مقاومت فشاری نمونه‌ها افزایش یافته است. در سن ۲۸ روز، مقاومت فشاری تمام نمونه‌های بتن نسبت به نمونه‌های فاقد الیاف شیشه، افزایش پیدا کرده است؛ که بهترین مقاومت فشاری مربوط به نمونه Cs 1/2 G ۴ با مقاومت فشاری ۲۸ روزه‌ی ۱۴۸ مگاپاسکال بوده است.

بر مبنای نتایج شکل ۶، مقاومت فشاری نمونه‌های ساخته شده با افزودن ۵٪ حجم بتن الیاف شیشه به بتن پودری واکنش پذیر در سن ۱ روزه نسبت به نمونه‌های فاقد الیاف شیشه شکل ۴ کاهش یافته است. در سن ۷ روز، مقاومت فشاری نمونه‌ی Cs 1G ۵ با نمونه‌ی Cs 1G ۵ برابر بوده و پس از آن مقاومت فشاری نمونه‌ها تا نسبت ماسه به سیمان ۱/۲ افزایش یافته است و به ازاء مقادیر بیشتر ماسه به سیمان در نمونه‌های Cs 1/2G ۵، Cs 1/3G ۵ و Cs 1/25G ۵ مقاومت فشاری نسبت به نمونه‌های فاقد الیاف شیشه (Cs 1/2G ۵ و Cs 1/3G ۵) کاهش پیدا کرده است. در سنین ۱۴ و ۲۸ روز فقط در نمونه‌های Cs 1G ۵ و Cs 1/1G ۵ مقاومت فشاری افزایش یافته است، که بیشترین مقاومت فشاری مربوط به نمونه Cs 1/1G ۵ با ۱۳۷ مگاپاسکال بوده است.

بر مبنای نتایج شکل ۷، مقاومت فشاری نمونه‌های حاوی افزودن ۶٪ حجم بتن الیاف شیشه به بتن پودری واکنش پذیر در سنین مختلف نسبت به نمونه‌های فاقد الیاف شیشه شکل ۴ کاهش یافته است.

به طور کلی، مطابق آنچه در شکل ۸ مشاهده می‌شود، در نسبت ماسه به

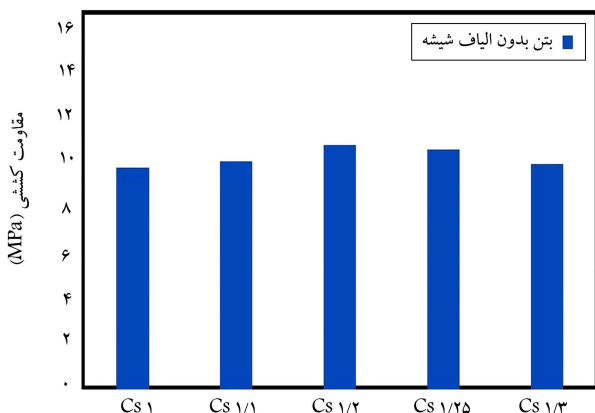
به نمونه Cs 1/2 با ۱۴۳ مگاپاسکال بوده است، که به میزان ۱۰٪ از مقاومت فشاری نمونه ۱ بیشتر است. از طرف دیگر، نمونه Cs 1/2G ۴ با ۱۴۳ مگاپاسکال بوده است، که به نمونه Cs 1/2 با ۱۰٪ از مقاومت فشاری نمونه ۱ بیشتر است. بنابراین تأثیر گام افزایشی ۱۰٪ در مقایسه با گام افزایشی ۵٪ قابل توجه است. مطابق شکل ۵، افزودن ۴٪ حجم بتن الیاف شیشه به بتن پودری واکنش پذیر مقاومت فشاری نمونه‌های ۱ و ۷ روزه را نسبت به نمونه‌های فاقد الیاف شیشه شکل ۴ کاهش داده است. در سن ۷ روز، مقاومت فشاری نمونه‌های Cs 1/2 G ۴ و Cs 1/25 G ۴ به میزان ۵/۶ و ۴/۶ درصد، بیشتر از نمونه‌های فاقد الیاف شیشه

بن الیاف شیشه بیشتر بوده است. مطابق با نتایج بیشترین افزایش مقاومت خمشی در نمونه های حاوی افزودن ۴٪ حجم بن الیاف شیشه، مربوط به نمونه های Cs1/25G4 و Cs1/2G4 با افزایش ۱۱/۷ و ۱۴/۳۴ درصد نسبت به نمونه های Cs1/25 و Cs1/۳ بوده است. این مقادیر برای نمونه های افزودن ۶٪ حجم سیمان الیاف شیشه موجب کاهش مقاومت فشاری نمونه ها شده است.

### ۳.۳. نتایج مقاومت کششی

جهت بررسی مقاومت کششی بن، نمونه های با سن ۲۸ روزه پس از خارج شدن از استخراج، با قرارگیری زیر جک به روش بزرگلین بررسی شدند. سرعت بارگذاری جک برای نمونه های استوانه بی ۱۰ × ۲۰ سانتی متر، بر روی ۹۰ نیوتون بر ثانیه تنظیم شده بود. به جهت بررسی تأثیر نسبت ماسه به سیمان در بن پودری واکنش پذیر، نتایج مقاومت کششی نمونه های فاقد الیاف شیشه در شکل ۱۱ و به جهت بررسی تأثیر افزودن درصد های مختلف الیاف شیشه در بن پودری واکنش پذیر، نتایج مقاومت کششی نمونه های حاوی ۴، ۵ و ۶ درصد الیاف شیشه در شکل ۱۲ مشاهده می شود.

افزایش نسبت ماسه به سیمان در بن پودری واکنش پذیر مطابق با نتایج شکل ۱۱، موجب افزایش مقاومت کششی نمونه های بن شده است. افزایش نسبت ماسه به سیمان تا نسبت ۱/۲ بیشترین تأثیر را در افزایش مقاومت کششی نمونه های بن داشته است. مطابق با نتایج نمونه Cs1/2 مقاومت کششی ۱۰/۹۵ مگاپاسکال را نشان داده است، که به میزان ۰/۰۵٪ بیشتر از نمونه Cs1 بوده است. پس از آن با افزایش نسبت ماسه به سیمان در نمونه های بن، مقاومت فشاری نسبت به نمونه Cs1/۲ کاهش یافته و مطابق نتایج در نمونه Cs1/۳، به میزان ۱/۵٪ نسبت به نمونه Cs1، مقاومت فشاری بیشتر بوده است. در شکل آن، افزودن الیاف شیشه به نمونه های بن پودری واکنش پذیر به ازاء تمام درصد ها موجب افزایش مقاومت کششی شده است. بیشترین مقاومت کششی مربوط به نمونه های Cs1/2G5، Cs1/2G5، Cs1/1G5، Cs1/1G5 و Cs1/25G5 می شود. وزن سیمان الیاف شیشه با ۱۳/۲۵، ۱۳/۷۵، ۱۵/۵، ۱۲/۹ و ۱۳/۲۵ مگاپاسکال بوده است.



شکل ۱۱. مقاومت کششی نمونه های فاقد الیاف شیشه.

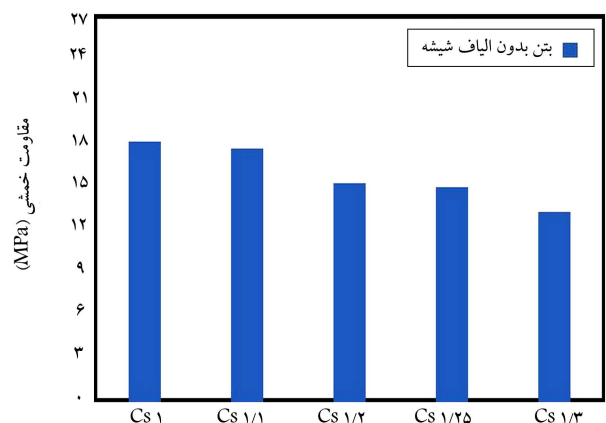
سیمان ۱/۱، افزودن ۵٪ حجم بن الیاف شیشه و در نسبت های ۱/۲، ۱/۲۵، ۱/۳، افزودن ۴٪ حجم سیمان الیاف شیشه، موجب افزایش مقاومت فشاری ۲۸ روزه ای نمونه ها شده است.

### ۲. نتایج مقاومت خمشی

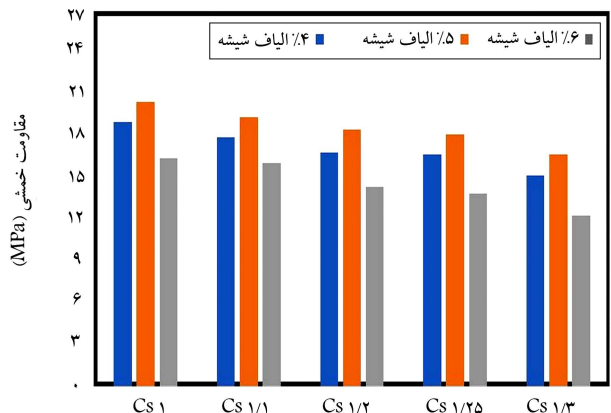
جهت بررسی مقاومت خمشی بن، طبق استاندارد، نمونه ها در سن ۲۸ روز پس از عمل آوری بررسی شدند. سرعت بارگذاری جک برای نمونه های ۴ × ۴ × ۱۶ سانتی متر بر روی ۵۵ نیوتون بر ثانیه تنظیم شده بود. نتایج مقاومت خمشی نمونه های فاقد الیاف شیشه در شکل ۹ و نتایج مقاومت خمشی نمونه های حاوی افزودن ۴، ۵ و ۶ درصد حجم بن، الیاف شیشه ای بن پودری واکنش پذیر در شکل ۱۰ مشاهده می شوند.

مطابق شکل ۹، افزایش نسبت ماسه به سیمان در بن پودری واکنش پذیر موجب کاهش مقاومت خمشی نمونه های بن شده است. بیشترین کاهش مربوط به افزایش نسبت ماسه به سیمان از ۱/۱ به ۱/۲ به میزان ۱۳/۴٪ بوده است. به طور کلی، کاهش سیمان سیمان با افزایش نسبت ماسه به سیمان در طرح ها موجب کاهش چسبندگی بین ریزدانه ها در بن می شود، همین این امر موجب پایین آمدن تحمل ریزدانه ها و کاهش مقاومت خمشی در نمونه های بن شده است.<sup>[۱۶]</sup>

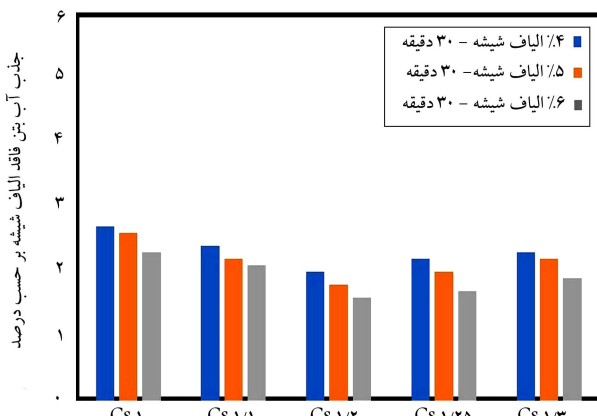
مطابق شکل ۱۰، در تمام نسبت های ماسه به سیمان، افزودن ۴ و ۵ درصد حجم بن الیاف شیشه موجب افزایش مقاومت خمشی نمونه های نسبت به نمونه های فاقد الیاف شیشه شده است، که افزایش اخیر در نمونه های حاوی ۵٪ حجم



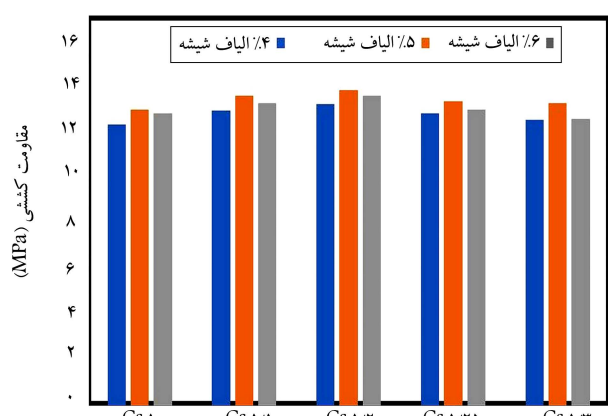
شکل ۹. مقاومت خمشی نمونه های فاقد الیاف شیشه.



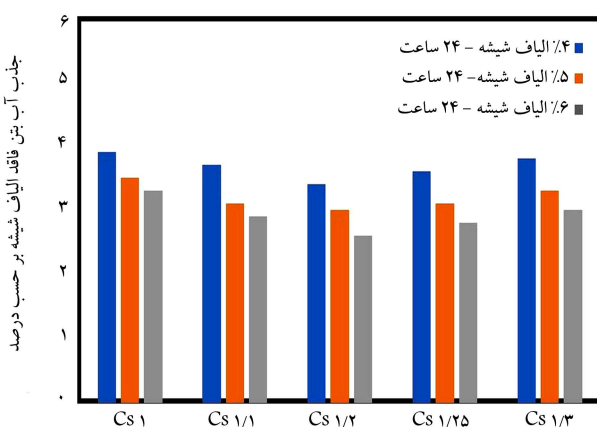
شکل ۱۰. مقاومت خمشی نمونه های حاوی الیاف شیشه.



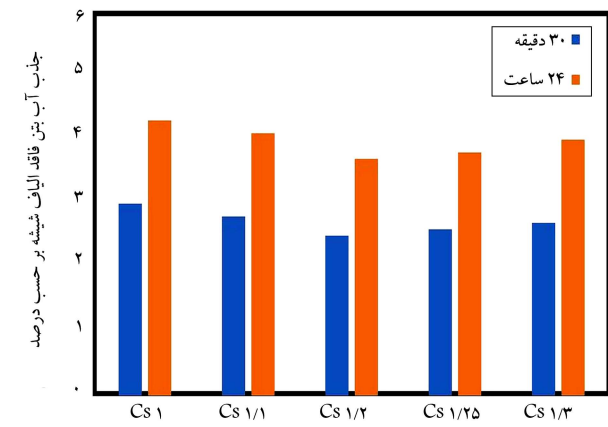
شکل ۱۴. جذب آب کوتاه‌مدت نمونه‌های حاوی الیاف شیشه.



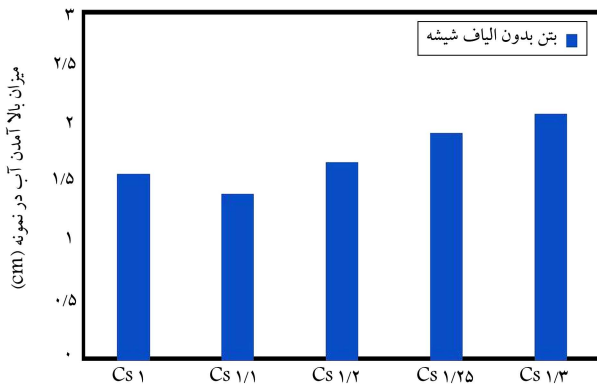
شکل ۱۲. مقاومت کششی نمونه‌های حاوی الیاف شیشه.



شکل ۱۵. جذب آب بلندمدت نمونه‌های حاوی الیاف شیشه.



شکل ۱۳. جذب آب نمونه‌های فاقد الیاف شیشه.



شکل ۱۶. نفوذناپذیری آب نمونه‌های فاقد الیاف شیشه.

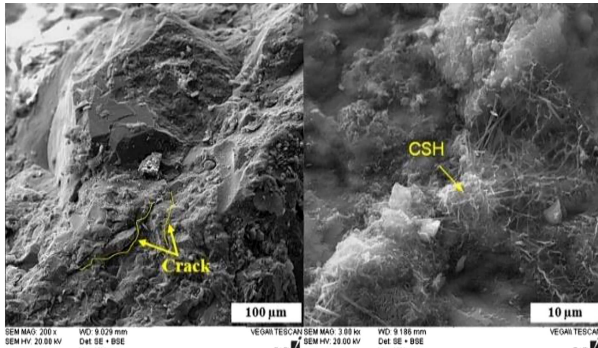
### ۵.۳. نتایج نفوذناپذیری آب نمونه‌ها

جهت بررسی نفوذناپذیری آب در بن، نمونه‌های استوانه‌ی ۱۰ × ۲۰ سانتی‌متر با سن ۲۸ روزه پس از خارج شدن از استخراج، در دستگاه نفوذناپذیری آب در بن با فشار، ۵ بار تحت آزمایش قرار گرفتند. به جهت بررسی تأثیر نسبت ماسه به سیمان در بن پودری واکنش‌پذیر و فاقد الیاف شیشه در شکل ۱۶ و به جهت بررسی تأثیر افزودن درصد‌های مختلف الیاف شیشه در بن پودری واکنش‌پذیر و فاقد الیاف شیشه در شکل ۱۷ مشاهده می‌شود.

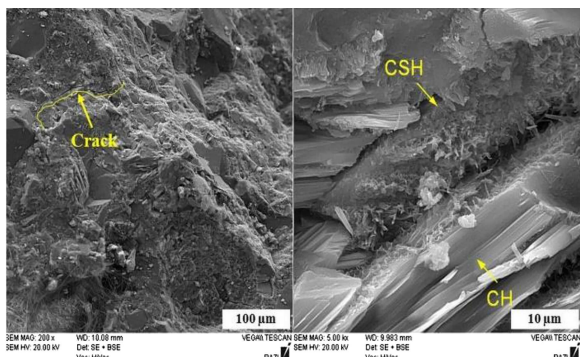
**۴.۳. نتایج جذب آب**  
به منظور بررسی میران جذب آب بن پودری واکنش‌پذیر، طبق استاندارد، نمونه‌های با سن بیش از ۲۸ روز پس از خارج شدن از استخراج آزمایش شدند. به جهت بررسی تأثیر نسبت ماسه به سیمان در نتایج جذب آب بن پودری واکنش‌پذیر، نمونه‌های فاقد الیاف شیشه در شکل ۱۳ و به جهت بررسی تأثیر افزودن درصد‌های مختلف الیاف شیشه در جذب آب بن پودری واکنش‌پذیر، نتایج نمونه‌های حاوی ۴، ۵ و ۶ درصد حجم بن الیاف شیشه در شکل‌های ۱۴ و ۱۵ مشاهده می‌شود.

مطابق شکل ۱۳، با افزایش نسبت ماسه به سیمان در نمونه‌ی Cs 1/2، جذب آب بلندمدت (۲۴ ساعت) نمونه ۳/۸ نشان داده شده است. مطابق با نتایج، به طور کلی جذب آب نمونه‌های بن تا نسبت ماسه به سیمان ۱/۲ کاهش و پس از آن، جذب آب نمونه‌های بن مجدد افزایش یافته و در نمونه‌ی Cs 1/۳ جذب آب برابر با ۴٪ مشاهده می‌شود. بیشترین جذب آب با ۴/۳٪ مربوط به نمونه Cs 1 با کمترین نسبت ماسه به سیمان بوده است.

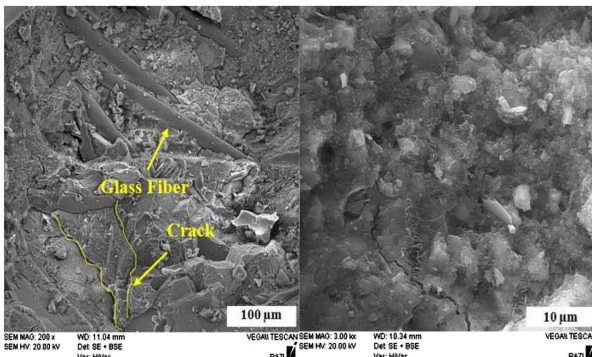
در شکل‌های ۱۴ و ۱۵، نتایج جذب آب کوتاه‌مدت و بلندمدت نمونه‌های بن پودری واکنش‌پذیر حاوی الیاف شیشه مشاهده می‌شود؛ که مطابق آنها، جذب آب نمونه‌های بن حاوی الیاف شیشه، در مقایسه با جذب آب نمونه‌ای بن ساخته شده با مصالح مشابه ولی فاقد الیاف شیشه کاهش یافته است، که علت این امر عدم جذب آب الیاف شیشه بوده است.<sup>[۳۵]</sup> با افزایش درصد الیاف شیشه، جذب آب کاهش یافته و کمترین درصد جذب آب مربوط به نمونه‌های حاوی ۶٪ حجم بن الیاف شیشه بوده است.



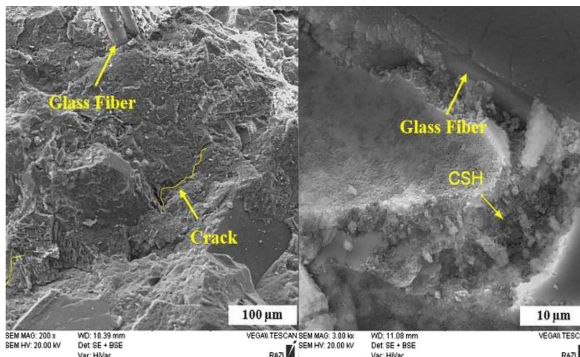
شکل ۱۸. تصاویر SEM طرح Cs1 با بزرگنمایی ۱۰ و ۱۰۰ میکرومتر.



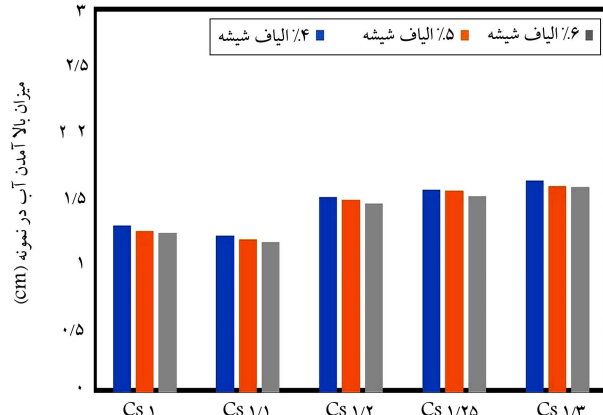
شکل ۱۹. تصاویر SEM طرح Cs1/2 با بزرگنمایی ۱۰ و ۱۰۰ میکرومتر.



شکل ۲۰. تصاویر SEM طرح Cs1G4 با بزرگنمایی ۱۰ و ۱۰۰ میکرومتر.



شکل ۲۱. تصاویر SEM طرح Cs1/2G4 با بزرگنمایی ۱۰ و ۱۰۰ میکرومتر.



شکل ۱۷. نفوذناپذیری آب نمونه‌های حاوی الیاف شیشه.

مطابق تابع شکل ۱۶، با افزایش نسبت ماسه به سیمان تا نسبت ۱/۱ نفوذناپذیری آب در بتن پودری واکنش پذیر کاهش یافته است. سپس با افزایش نسبت ماسه به سیمان، به علت پایین آمدن میران چسبندگی ریزدانه‌های بتن پودری واکنش پذیر، حفره‌ها و ریزترک‌ها افزایش و میران پیشروی آب نیز در نمونه‌های بتن افزایش یافته است.<sup>[۳۷, ۳۶]</sup>

مطابق شکل ۱۷، در بتن پودری واکنش پذیر حاوی الیاف شیشه، افزایش نسبت ماسه به سیمان سبب شده است تا نسبت ۱/۱ موجب افزایش نفوذناپذیری آب در بتن شود. همچنین، افزایش درصد الیاف شیشه در نمونه‌های بتن موجب افزایش میران نفوذناپذیری آب شده است. مشاهده می‌شود که افزایش درصد الیاف شیشه مطابق آنچه در جذب آب نمونه‌های بتن رخ داده است، موجب دوام بهتر نمونه‌های پتنتی در برابر نفوذ آب شده است.

### ۶.۳. آنالیز میکروسکوپ الکترونی رویشی (SEM)

در شکل‌های ۱۸ الی ۲۱، تصاویر SEM مریبوط به نمونه‌های Cs1/2، Cs1، Cs1G4 و Cs1/2G4 مشاهده می‌شود. فاز سیلیکات‌کلسیم هیدراته (C-S-H) بیش از ۵۰٪ حجم مواد جامد خمیر سیمان کاملاً هیدراته شده را تشکیل داده و بنابراین، مهم‌ترین بخش مواد جامد خمیر در تعیین خواص آن بوده است. بلورهای هیدروکسیدکلسیم با پرتلندیات (CH) نیز حدود ۲۰ الی ۳۰٪ درصد حجم قسمت جامد خمیر هیدراته شده را تشکیل می‌دهند. برخلاف ناحیه‌ی C-S-H، هیدروکسیدکلسیم ترکیبی با فرمول مشخص  $Ca(OH)_2$  است. نقش فاز CH به علت نیروهای واندروالسی در مقاومت بتن نسبت به نقش C-S-H محدود است. دوز بالای سیمان در RPC منجر به تشکیل مقدار زیادی ژل C-S-H بین افزایش سطح پودر و در نتیجه، افزایش سسته‌بندی ذرات آن می‌شود.<sup>[۲۸]</sup> به منظور بررسی ریزساختار نمونه‌های بتن، نمونه‌های Cs1/2 و Cs1/2G4 با توجه به مناسب‌ترین رفتار مکانیکی و مقایسه با نمونه‌های Cs1 و Cs1G4 نفوذناپذیری شده است.

مطابق با تصاویر میکروسکوپ الکترونی مشاهده شده در شکل‌های ۱۸ و ۱۹، شرایط تشکیل ژل C-S-H در نمونه‌ی Cs1/2 مناسب‌تر از شرایط تشکیل ژل در نمونه‌ی Cs1 بوده و همین امر موجب افزایش مقاومت فشاری در نمونه‌ی اخیر شده است. از طرف دیگر، کاهش جذب آب در نمونه‌ی Cs1/2، به علت کاهش ریزترک‌های نمونه‌ی بتن نسبت به نمونه‌ی Cs1 بوده است.

مطابق آنچه در شکل‌های ۲۰ و ۲۱ مشاهده می‌شود، افزودن ۴٪ حجم بتن الیاف شیشه به نمونه‌های Cs1 و Cs1/2، موجب کاهش ریزترک‌ها و هموارتر شدن

جدول ۵. مقایسه‌ی رفتار نمونه‌های ۲۸ روزه‌ی فاقد الیاف شیشه نسبت به نمونه‌ی مرجع (%).

Cs <sub>1</sub> /۳/Cs <sub>1</sub>	Cs <sub>1</sub> /۲۵/Cs <sub>1</sub>	Cs <sub>1</sub> /۲/Cs <sub>1</sub>	Cs <sub>1</sub> /۱/Cs <sub>1</sub>	Cs <sub>1</sub> /Cs <sub>1</sub>	نوع رفتار
۲/۳	۶/۹۲	۱۰/۷۵	۰/۷۷	—	مقاومت نشاری
-۲۶/۸۹	-۱۷/۵۱	-۱۵/۶۹	-۲/۶	—	مقاومت خششی
۱/۵	۸/۰۴	۱۰/۰۵	۳/۰۱	—	مقاومت کششی
-۶/۹۷	-۱۱/۶۲	-۱۳/۹۵	-۴/۶۵	—	جذب آب
۳۱/۸۷	۲۱/۸۷	۶/۲۵	-۱۰/۶۲	—	نفوذناپذیری آب

جدول ۶. مقایسه‌ی درصد افزایش یا کاهش مقاومت فشاری ۲۸ روزه‌ی نمونه‌های حاوی الیاف نسبت به نمونه‌ی فاقد الیاف شیشه (%).

Cs <sub>1</sub> /۳/Cs <sub>1</sub> /۳	Cs <sub>1</sub> /۲۵/Cs <sub>1</sub> /۲۵	Cs <sub>1</sub> /۲/Cs <sub>1</sub> /۲	Cs <sub>1</sub> /۱/Cs <sub>1</sub> /۱	Cs <sub>1</sub> /Cs <sub>1</sub>	
۵/۵۱	۱/۴۳	۳/۴۹	۲/۲۹	۲/۳	حاوی ۴٪ الیاف
-۳/۹۳	-۸/۶۳	-۹/۷۹	۴/۵۸	۳/۸۴	حاوی ۵٪ الیاف
-۸/۶۶	-۱۴/۳۸	-۱۶/۰۸	-۴/۵۸	-۰/۷۶	حاوی ۶٪ الیاف

جدول ۷. مقایسه‌ی درصد افزایش یا کاهش مقاومت خمی نمونه‌های حاوی الیاف نسبت به نمونه‌ی فاقد الیاف شیشه (%).

Cs <sub>1</sub> /۳/Cs <sub>1</sub> /۳	Cs <sub>1</sub> /۲۵/Cs <sub>1</sub> /۲۵	Cs <sub>1</sub> /۲/Cs <sub>1</sub> /۲	Cs <sub>1</sub> /۱/Cs <sub>1</sub> /۱	Cs <sub>1</sub> /Cs <sub>1</sub>	
۱۴/۳۳	۱۱/۷	۱۰/۲۷	۱/۷	۵/۱	حاوی ۴٪ الیاف
۲۶/۰۳	۲۱/۴	۲۰/۷۴	۹/۹۱	۱۳/۱	حاوی ۵٪ الیاف
-۷/۱۷	-۷/۳۵	-۶/۰۸	-۹/۰۶	-۹/۵۱	حاوی ۶٪ الیاف

جدول ۸. مقایسه‌ی درصد افزایش یا کاهش مقاومت کششی نمونه‌های حاوی الیاف نسبت به نمونه‌ی فاقد الیاف شیشه (%).

Cs <sub>1</sub> /۳/Cs <sub>1</sub> /۳	Cs <sub>1</sub> /۲۵/Cs <sub>1</sub> /۲۵	Cs <sub>1</sub> /۲/Cs <sub>1</sub> /۲	Cs <sub>1</sub> /۱/Cs <sub>1</sub> /۱	Cs <sub>1</sub> /Cs <sub>1</sub>	
۲۳/۲۶	۱۸/۶	۲۰/۰۹	۲۵/۳۶	۲۳/۱۱	حاوی ۴٪ الیاف
۳۰/۶۹	۲۳/۲۵	۲۵/۵۷	۳۱/۷	۲۹/۶۴	حاوی ۵٪ الیاف
۲۳/۷۶	۲۰	۲۲/۲۸	۲۸/۷۸	۲۸/۱۴	حاوی ۶٪ الیاف

جدول ۹. مقایسه‌ی درصد افزایش یا کاهش جذب آب نمونه‌های حاوی الیاف نسبت به نمونه‌ی فاقد الیاف شیشه (%).

Cs <sub>1</sub> /۳/Cs <sub>1</sub> /۳	Cs <sub>1</sub> /۲۵/Cs <sub>1</sub> /۲۵	Cs <sub>1</sub> /۲/Cs <sub>1</sub> /۲	Cs <sub>1</sub> /۱/Cs <sub>1</sub> /۱	Cs <sub>1</sub> /Cs <sub>1</sub>	
-۵	-۵/۲۶	-۸/۱	-۹/۷۵	-۹/۳	حاوی ۴٪ الیاف
-۱۷/۵	-۱۸/۴۲	-۱۸/۱۱	-۲۴/۳۹	-۱۸/۶	حاوی ۵٪ الیاف
-۲۵	-۲۶/۳۱	-۲۹/۷۲	-۲۹/۲۶	-۲۴/۲۵	حاوی ۶٪ الیاف

جدول ۱۰. مقایسه‌ی درصد افزایش یا کاهش نفوذناپذیری آب نمونه‌های حاوی الیاف نسبت به نمونه‌ی فاقد الیاف شیشه (%).

Cs <sub>1</sub> /۳/Cs <sub>1</sub> /۳	Cs <sub>1</sub> /۲۵/Cs <sub>1</sub> /۲۵	Cs <sub>1</sub> /۲/Cs <sub>1</sub> /۲	Cs <sub>1</sub> /۱/Cs <sub>1</sub> /۱	Cs <sub>1</sub> /Cs <sub>1</sub>	
-۲۱/۸	-۱۸/۹۷	-۱۰/۵۸	-۱۴/۶۸	-۱۸/۷۵	حاوی ۴٪ الیاف
-۲۳/۶۹	-۱۹/۴۸	-۱۱/۷۶	-۱۶/۷۸	-۲۱/۲۵	حاوی ۵٪ الیاف
-۲۴/۱۷	-۲۱/۵۳	-۱۳/۵۲	-۱۸/۱۸	-۲۲/۵	حاوی ۶٪ الیاف

#### ۴. تجزیه و تحلیل یافته‌های پژوهش

در جدول‌های ۵ الی ۱۰، مقادیر مقایسه‌ی نتایج خروجی آزمایش‌های مقاومت‌های فشاری، خمی و کششی، جذب آب و نفوذناپذیری آب بتن نمونه‌های فاقد الیاف شیشه و نمونه‌های حاوی ۴، ۵ و ۶ درصد حجم بتن الیاف شیشه ارائه شده است. از مقایسه‌ی آنها می‌توان به صورت خلاصه، به این موارد اشاره کرد:

سطح نمونه‌های بتن شده است. همچنین با افزایش نسبت ماسه به سیمان از ۱/۲ در بتن حاوی الیاف شیشه، کاهش ریزترک‌ها موجب کاهش جذب آب و افزایش مقاومت فشاری در نمونه‌ی Cs<sub>1</sub>/G4 نسبت به نمونه‌ی Cs<sub>1</sub>/G4 شده است. کربیستال‌های اترینگیت بین مواد هیدراته‌ی ناقص و ژل C-S-H تشکیل می‌شود.<sup>[۲۹]</sup> مطابق شکل‌های اخیر، محصول اصلی هیدراتاسیون همگن، ژل C-S-H است. کربیستال‌های Ca(OH)<sub>2</sub> یافت نشده و اترینگیت تشکیل شده است.<sup>[۳۰]</sup>

۱۱. به طور کلی، مطابق با نتایج به دست آمده، الایاف شیشه بهبود قابل توجهی در مقاومت فشاری نشان نداده‌اند. از طرف دیگر، در بتن حاوی الایاف شیشه، مقاومت کششی و خمشی به طور قابل توجهی افزایش یافته‌اند. علت این امر مطابق مطالعات پیشین توانایی الایاف شیشه در مقاومت در برابر ترک هاست.<sup>[۲۷]</sup>

## ۵. نتیجه‌گیری

با توجه به بررسی مطالعات پیشین و اهمیت روزافزون بتن پودری واکنش‌پذیر در صنعت ساخت و ساز، در مطالعات حاضر به جهت بررسی امکان بهبود خواص و کاهش معایب بتن مذکور در ۵ طرح، ابتدا تأثیر افزایش نسبت ماسه به سیمان در بتن پودری واکنش‌پذیر و سپس در ۱۵ طرح، تأثیر افزودن مقادیر مختلف الایاف شیشه به بتن پودری واکنش‌پذیر با نسبت ماسه به سیمان مختلف بررسی شده و این نتایج به دست آمده است.

۱. افزایش نسبت ماسه به سیمان از ۱/۲ تا ۱/۱، موجب بهبود خواص بتن، نظیر مقاومت فشاری، مقاومت کششی و جذب آب شده است. با توجه به ریزاسختار بتن، شرایط فاز سیلیکات‌کلسیم هیدراته نیز در این نسبت بهبود یافته و بیشترین افزایش مقاومت فشاری در نمونه‌ی CS1 با نسبت ماسه به سیمان ۱/۲ در مقایسه با نمونه‌ی CS1 بوده است، که با ۱۰٪ افزایش به ۱۴۳ مگاپاسکال رسیده است.

۲. افزودن الایاف شیشه به میزان ۴ و ۵ درصد حجم بتن موجب افزایش مقاومت فشاری نمونه‌های بتن شده است. بیشترین افزایش در نسبت‌های ماسه به سیمان ۱ و ۱/۱ مربوط به افزودن ۵٪ الایاف شیشه بوده است، که به ترتیب مقاومت‌های ۱۳۵ و ۱۳۷ مگاپاسکال در نمونه‌های مکعبی به دست آمده و پس از آن در نسبت‌های ماسه به سیمان بالاتر، فقط افزودن ۴٪ حجم بتن الایاف شیشه موجب افزایش مقاومت فشاری شده است، که میزان الایاف مذکور، موجب رسیدن مقاومت فشاری نمونه‌ی مکعبی شده است. CS1/۲G به ۱۴۸ مگاپاسکال، نمونه‌ی CS1/۲۵G به ۱۴۱ مگاپاسکال و نمونه‌ی CS1/۳G به ۱۴۲ مگاپاسکال شده است.

۳. افزایش نسبت ماسه به سیمان با کاهش چسبندگی بین ریزدانه‌ها موجب کاهش مقاومت خمشی بتن پودری واکنش‌پذیر شده است؛ اما در نمونه‌های حاوی الایاف شیشه، افزودن ۴ و ۵ درصد الایاف شیشه موجب افزایش مقاومت خمشی در تمام نسبت‌های ماسه به سیمان شده است. نمونه‌ی CS1G به مقاومت خمشی ۲۰/۵ مگاپاسکال، بیشترین مقاومت خمشی را داشته است.

۴. با افزایش نسبت ماسه به سیمان از ۱ به ۱/۲، مقاومت کششی بتن به میزان ۵/۰٪ افزایش یافته است. همچنین افزودن الایاف شیشه به میزان ۵٪ حجم بتن، موجب بیشترین افزایش مقاومت کششی در بتن پودری واکنش‌پذیر شده است.

۵. با توجه به تصاویر میکروسکوپ الکترونی افزایش نسبت ماسه به سیمان از ۱ تا ۱/۲ موجب کاهش ریزترک‌های بتن و بهبود شرایط تشکیل ریزاسختار بتن شده است. همین امر موجب کاهش جذب آب نمونه‌های بتن شده است، به طوری که به میزان ۱۳/۹۵٪ در نمونه‌ی CS1/۲ نسبت به نمونه‌ی CS1 جذب آب کاهش یافته است.

۶. در تمام نسبت‌های ماسه به سیمان، افزودن ۶٪ حجم بتن الایاف شیشه موجب تضعیف خواص مقاومتی بتن، نظیر مقاومت فشاری، مقاومت خمشی و مقاومت کششی شده است.

۱. مطابق جدول ۵، در نمونه‌های بتن فاقد الایاف شیشه، با افزایش نسبت ماسه به سیمان تا نمونه‌ی CS1/۲ (حاوی نسبت ماسه به سیمان ۱/۲)، مقاومت فشاری نمونه‌ی بتن افزایش یافته است. با توجه به مقایسه‌ی درصد جذب آب نمونه‌های بتن، کمترین درصد جذب آب مربوط به نمونه‌ی CS1/۲ بوده است. بنابراین افزایش مقاومت فشاری در نمونه‌ی اخیر به تراکم مناسب سنگ‌دانه‌ها و همچنین با توجه به تصاویر میکروسکوپ الکترونی به کاهش ریزترک‌ها مربوط بوده است.

۲. با افزایش نسبت ماسه به سیمان، مقاومت خمشی کاهش یافته است، که علت آن کاهش میزان سیمان مصرف شده در ساخت نمونه‌های بتن بوده است.

۳. مطابق با افزایش مقاومت فشاری نمونه‌ی بتن با افزایش نسبت ماسه به سیمان از ۱ به ۱/۲، نمونه‌ی CS1/۲ بیشترین مقاومت کششی را با ۱۰/۷۵ مگاپاسکال داشته است.

۴. کمترین کاهش جذب آب در نمونه‌های بتن، مربوط به نمونه‌ی CS1/۲ با نسبت ماسه به سیمان ۱/۲ بوده است. مطابق با تصاویر میکروسکوپ الکترونی، کاهش اخیر درصد جذب آب مربوط به کاهش ریزترک‌های نمونه بوده است. همچنین مطابق با نتایج جدول ۵، پس از نسبت ۱/۱ با افزایش نسبت ماسه به سیمان به علت باین آمدن میزان چسبندگی ریزدانه‌های بتن پودری واکنش‌پذیر، میزان پیشروی آب در نمونه‌های بتن افزایش یافته است، که بیشترین میزان پیشروی آب در بتن به نمونه‌ی CS1/۳ با ۳۱/۸۷٪ افزایش نسبت به نمونه‌ی CS1 مربوط بوده است.

۵. مطابق نتایج جدول ۶، در نسبت ماسه به سیمان ۱ و ۱/۱، افزودن الایاف شیشه به میزان ۵٪ حجم بتن، موجب افزایش مقاومت فشاری نمونه‌ی بتن به میزان ۳/۸۴ و ۴/۵۸ درصد شده است. با توجه به کاهش جذب آب نمونه‌های CS1/۱G۵ و CS1/۱G۶ در نسبت ۱۸/۶ و ۲۴/۳۹ در نسبت به نمونه‌های CS1 و CS1/۱، کاهش حفره‌ها و ریزترک‌ها موجب افزایش تحمل نمونه‌های بتن در برابر نیروی فشاری شده است.

۶. در نسبت‌های ماسه به سیمان ۱/۲۵، ۱/۲۵، ۱/۳، ۱/۳، افزایش مقاومت فشاری به نمونه‌های حاوی ۴٪ حجم بتن الایاف شیشه با افزایش ۳/۴۹، ۳/۴۹ و ۱/۴۳ و ۵/۵۱ مربوط بوده است.

۷. با توجه به جدول ۷، با افزودن الایاف شیشه به میزان ۴ و ۵ درصد حجم بتن، مقاومت خمشی نمونه‌ها در تمام نسبت‌های ماسه به سیمان افزایش یافته است، که این افزایش در نمونه‌های حاوی ۵٪ حجم بتن الایاف شیشه بیشتر بوده است.

۸. با توجه به کاهش مقاومت خمشی در افزودن الایاف شیشه به میزان ۶٪ حجم بتن، خواص مقاومتی بتن تضعیف یافته است. بیشترین کاهش مقاومت خمشی در نمونه‌ی CS1G۶ با مقاومت خمشی ۱۶/۴ مکاپاسکال افقاً افتاده است.

۹. مطابق با نتایج ارائه شده در جدول ۸، مقاومت کششی نمونه‌ها به ازاء تمام درصدهای الایاف شیشه افزایش یافته است. بیشترین افزایش مقاومت کششی مربوط به نمونه‌های حاوی ۵٪ حجم بتن الایاف شیشه بوده است.

۱۰. با توجه به فاقد جذب آب بودن الایاف شیشه، افزودن الایاف شیشه به بتن، موجب کاهش درصد آب جذب شده است. همچنین نفوذ آب در نمونه‌های بتن با افزودن الایاف شیشه کاهش یافته است. با توجه به تصاویر میکروسکوپ الکترونی در نمونه‌ی CS1/۲G۴، کاهش ریزترک‌های سطح بتن موجب کاهش جذب آب نسبت به نمونه‌ی CS1G۴ شده است.

بنابر موارد بیان شده با افزایش نسبت ماسه به سیمان به میران ۱/۲ (طرح ۲/Cs۱) می‌توان خواص مقاومتی بتن پودری واکنش‌پذیر را به ازاء مقادیر کمتر سیمان و همچنین کاهش حرارت هیدراتاسیون به واسطهٔ کاهش مصرف سیمان، نسبت به نمونه‌ی حاوی ماسه به سیمان ۱ (طرح Cs۱) بهبود بخشیده است. همچنین در صورت نیاز به مقاومت کششی، مقاومت فشاری و نفوذناپذیری بیشتر و جذب آب کمتر می‌توان از ۴ تا ۵ درصد حجم بتن الیاف شیشه جهت بهبود خواص بتن پودری واکنش‌پذیر بهره برد.

۷. مطابق با نتایج به دست آمده، خصوصیات نمونه‌ی ۲/Cs۱ بسیار به خصوصیات نمونه‌ی ۲/Cs۱ نزدیک بوده است. به عنوان مثال، تقاضت مقاومت فشاری ۲۸ روزه نمونه‌ی ۲/Cs۱ با نمونه‌ی ۲/Cs۱ به میران ۴ مگاباسکال و برابر با ۸٪ اختلاف بوده است. این تقاضت برای نمونه‌های ۱/Cs۱ و ۳/Cs۱ به ترتیب برابر با ۱۸٪ و ۱۱٪ درصد بوده است. بنابراین، گام افزایشی ۱۰٪ جهت بررسی تأثیر افزایش نسبت ماسه به سیمان در بتن پودری واکنش‌پذیر از گام افزایشی ۵٪ مناسب‌تر است.

## پابندی

1. Qasim, A.
2. Mayhoub
3. JianXin
4. Krenchel & Stang

## منابع (References)

1. Mostofinejad, D. "Concrete technology & mixing design", *Arkandanesh, P.*, 2nd Edn., pp. 159-210, Isfahan, IR (In Persian) (205).
2. Malik, A.R. and Foster, S.J. "Carbon fiber reinforced polymer confined reactive powder concrete columns-experimental investigation", *ACI Structural Journal*, **107**(3), pp. 263-271 (2010).
3. Heidari, A. and Tavakoli, D. "Introduction to concrete technology", *Shahrekord University P.*, pp. 1-10, Chaharmahal va Bakhtiari, IR (In Persian) (2017).
4. Lee M.-G., Wang, Y.-C. and Chiu, C.-T. "A preliminary study of reactive powder concrete as a new repair material", *Construction and Building Materials*, **21**(1), pp. 182-189 (2007).
5. Voo, J., Foster, S.J., Gilbert, R.I. and et al. "Design of disturbed region in reactive powder concrete bridge girders", *(ASCE) Bridge Materials*, pp. 117-127 (2004).
6. Qasim, O.A. "Experimental investigation on autogenous shrinkage of high and ultrahigh strength concrete", IOP Conference Series: Materials Science and Engineering, **454**(1), p.012067 (2018).
7. Qasim, O.A. and Ahmed, A.S. "Different variable effects on bond strength of normal, high and ultra-high strength concrete", *International Journal of Civil Engineering and Technology (IJCIET)*, **9**, pp. 1923-1945 (2018).
8. Mayhoub, O.A., Nasr, A.R., Ali, Y.A. and et al. "The influence of ingredients on the properties of reactive powder concrete: A review", *Ain Shams Engineering Journal*, **12**(1), pp. 145-158 (2020).
9. Heidari, A. and Tavakoli, D. "Production of high-strength concrete based on reactive powder concrete", *Journal of Experimental Research in Civil Engineering*, **2**(4), pp. 111-120 (In Persian) (2016).
10. Richard, P. and Cheyrez, M. "Composition of reactive powder concretes", *Cement Concrete Research*, **25**(7), pp. 1501-1511 (1995).
11. Bagheri, A. and Zanganeh, H. "Energy absorption of reactive powder concrete (RPC) in static and impact loadings", *CSCE 2007 Annual General Meeting & Conference, Yellowknife Northwest Territories* (2007).
12. JianXin, M. and Orgass, M. "Comparative investigations on ultra-high performance concrete with and without coarse aggregates", *In International Symposium on Ultra High Performance Concrete*, Kassel, Germany, **9**, pp.205-212 (2004).
13. Liu, J.H., Song, S.M., Sun, Y.M. and et al. "Influence of ultrafine limestone powder on the performance of high volume mineral admixture reactive powder concrete", *Advance Material Research*, **152-153**, pp. 1583-1586 (Oct 2010).
14. Savadkoohi, M.S. and Reisi, M. "Environmental protection based sustainable development by utilization of granite waste in reactive powder concrete", *Journal of Cleaner Production*, **266**, p.121973 (Sep 2020).
15. Grzeszczyk, S. and Janus, G. "Reactive powder concrete with lightweight aggregates", *Construction Building Material*, **263**, p.120164 (Dec 2020).
16. Xiaoying, L., Jun, L., Zhongyuan, L. and et al. "Preparation and properties of reactive powder concrete by using titanium slag aggregates", *Construction Building Material*, **234**, p.117342 (Feb 2020).
17. Masoumi, H., Nezhati, S. and Nejati, F. "Investigating the properties and advantages of reactive powder concrete", *6th Trans-regional Conference on Novel Advances in Engineering Sciences, Ayandegan Higher Education Institute, Tonekabon, Iran* (In Persian) (2013).
18. Blais, P.Y. and Couture, M. "Precast, prestressed pedestrian bridge-world's first reactive powder concrete structure", *PCI Journal*, **44**(5), pp. 60-71 (1999).
19. Naser, M.Z., Hawileh, R.A. and Abdalla, J.A. "Fiber-reinforced polymer composites in strengthening reinforced concrete structures: A critical review", *Engineering Structures*, **198**, 109542 (2019).

20. Krenchel, H. and Stang, H. "Stable microcracking in cementitious materials", *In Brittle Matrix Composites 2, Brandt, A.M. and Marshall, J.H. eds.*, pp. 20-33 (1989).
21. Soroushian, P. and Lee, C. "Tensile strength of steel fiber reinforced concrete: correlation with some measures of fiber spacing", *ACI Material Journal*, **87**(6), pp. 541-546 (1990).
22. Tam, C.M., Tam, V.W.Y. and Ng, K.M. "Assessing drying shrinkage and water permeability of reactive powder concrete produced in Hong Kong", *Construction and Building Materials*, **26**(1), pp. 79-89 (2012).
23. Heidari, A and Naderi Shourabi, F. "New Concrete", *Arkandanesh P., 1st Edn.*, pp. 75-76, Isfahan, IR (In Persian) (2022).
24. ASTM E1621-05, "Standard guide for elemental analysis by wavelength dispersive X-ray fluorescence spectrometry", *ASTM International*, West Conshohocken, PA, United States (2014).
25. Iskender, M. and Bekir, K. "Glass fibre reinforced concrete (GFRC)", *El-Cezerî Fen ve Mühendislik Dergisi* 5, 1, pp. 136-162 (2018).
26. Naderi Shourabi, F. and Heidari, A. "Laboratory investigation of the change of sand-cement ratio in the mechanical behavior of reactive powder concrete", *The 13th National Congress of Civil Engineering*, Iran, (In Persian) (May 2022).
27. 27. Soroushian, P. "Secondary reinforcement adding cellulose fibers", *American Concrete International (ACI)*, **19**(6), pp. 28-34 (1997).
28. Swamy, R.N. "Fibre reinforced cement and concrete: proceedings of the fourth RILEM international symposium", *CRC Press, 1st Edn.*, London, GB (1992).
29. Hiremath, P.N. and Yaragal, S.C. "Influence of mixing method, speed and duration on the fresh and hardened properties of reactive powder concrete", *Construction and Building Materials*, **141**, pp. 271-288 (2017).
30. ASTM C39/C39 M-12, "Standard test method for compressive strength of cylindrical concrete specimens", *American Society for Testing and Materials*, West Conshohocken, Pennsylvania (2012).
31. ASTM C496, "Standard test method for splitting tensile strength of cylindrical concrete specimens", *ASTM International*, west Conshohocken, PA, pp. 469-490 (2011).
32. ASTM C293, "Standard test method for flexural strength of Concrete (using simple beam with centerpoint loading)", *American Society for Testing and Materials*, **100**, pp. 19428-2959 (2010).
33. BS. EN, 12390-8, "Testing hardened concrete, depth of penetration of water under pressure", *BSI* (2006).
34. ASTM C 642-97, "Standard test method for density, absorption, and voids in hardened concrete", *Book of ASTM Standards, American Society for Testing and Materials* (1997).
35. ASTM C192, "Standard practice for making and curing concrete test specimens in the laboratory", *ASTM International*, West Conshohocken (2006).
36. Zhang, Z., Feng, Q. Zhu, W. and et al. "Influence of sand-cement ratio and polycarboxylate superplasticizer on the basic properties of mortar based on water film thickness", *Materials*, **14**(17), 4850 (2021).
37. Ahmad, González-Lezcano, R.A., Majdi, A., Ben Kahla N. and et al. "Glass fibers reinforced concrete: overview on mechanical, durability and microstructure analysis", *Materials*, **15**(15), 5111 (2022).
38. Mayhoub, O.A., Naser, A.R., Yehia, A. and et al. "The influence of ingredients on the properties of reactive powder concrete: A review", *Ain Shams Engineering Journal*, **1**(12), pp. 145-58 (2021).
39. Wang, D., Shi, C., Wu, Z. and et al. "A review on ultra high performance concrete: Part II. hydration, microstructure and properties", *Construction and Building Materials*, **96**, pp. 368-77 (2015).
40. Wang, C., Yang, C., Liu, F. and et al. "Preparation of ultra high performance concrete with common technology and materials", *Cement Concrete Composite*, **34**(4), pp. 538-44 (2012).